

Corpo Negro

Gonalo Quinta n^o 65680, Fernando Rodrigues n^o66326, Teresa Jorge n^o65722 e Vera Patr cio n^o65726

Laborat rio de Complementos de Electromagnetismo e Termodin mica
Mestrado Integrado em Engenharia F sica Tecnol gica 2009/2010
Instituto Superior T cnico (IST)

(Dated: 17 de Abril de 2010)

Foi estudada a radia o de um corpo negro usando como modelo uma l mpada de filamento de tungst nio. A constante de Wien calculada foi de $(4,21761 \pm 0,63870) \times 10^{-3}$ mK. Foi feito um ajuste gr fico dos pontos experimentais   lei de Planck, que se ajustou parcialmente aos resultados obtidos. A partir do ajuste gr fico   lei de Stefan foi obtida uma depend ncia da $(4,8274 \pm 0,2491)$ e pot ncia da temperatura e um valor do produto $\epsilon\sigma$ de $1,478 \times 10^{-8}$. **EVENTUALMENTE TEM QUE SER MUDADO.** A partir do valor correcto de σ obtemos um ϵ para o filamento de 0,26. As leis de Kirchhoff foram verificadas experimentalmente.

I. INTRODU O

Um corpo negro   definido como um objecto que absorve toda a radia o que sobre ele incide, emitindo apenas em fun o da sua temperatura. O modelo usado para o descrever   o de uma cavidade com uma pequena abertura, estando as suas paredes revestidas de osciladores electromagn ticos. A radia o que entra pela abertura   reflectida sucessivamente nas suas paredes, at  ser totalmente absorvida e se atingir o equil brio t rmico. Nesse caso, a radia o emitida pela cavidade depende apenas da temperatura das suas paredes, j  que que   originada apenas pelos osciladores, sendo cont nuo em todo o espectro [1]. O presente trabalho destina-se a estudar algumas das propriedades dessa radia o.

Para o estudo da energia absorvida, define-se a grandeza absorv ncia como:

$$Q = \frac{E_{abs}}{E_{inc}} \quad (1)$$

E_{abs} - Energia absorvida (J)

E_{inc} - Energia incidente (J)

Pela defini o de corpo negro acima exposta se tem que a sua absorv ncia ser  1. J  para o estudo da energia emitida se tem a emissividade definida como

$$e = \frac{I}{I_n} \quad (2)$$

I - Pot ncia emitida por unidade de  rea (W/m)

I_n - Pot ncia emitida por unidade de  rea por um corpo negro   mesma temperatura (W/m)

em que I_n corresponde ao m ximo que   poss vel irradiar, pelo que $e \leq 1$, sendo o caso limite (igual a 1) o do corpo negro. Na verdade, esta grandeza depende da temperatura do corpo, do  ngulo de emiss o e do comprimento de onda analisado, mas ir  assumir-se que   constante. O teorema de Kirchhoff relaciona estas duas quantidades, afirmando que, em equil brio t rmico, a emissividade e absorv ncia de um corpo s o iguais. [2] Pode-se assim afirmar que materiais que s o bons reflectores emitir o pouco e vice-versa.

Experimentalmente, sabe-se que a pot ncia irradiada por  rea por um corpo negro vai apenas depender da sua

temperatura, pela rela o conhecida como lei de Stefan-Boltzmann [4]

$$I_n = \sigma T^4 \quad (3)$$

σ - constante de Stefan-Boltzmann = $5,670400 \times 10^{-8} J s^{-1} m^{-2} K^{-4}$

ou, para corpos que n o sejam negros, obt m-se directamente de (2) que

$$I_n = \epsilon \sigma T^4 \quad (4)$$

de onde se conclui que a energia irradiada por um corpo negro e outro qualquer difere apenas na intensidade. Ainda por vias experimentais,   sabido que o comprimento de onda da energia emitida para a qual a intensidade   m xima, se relaciona com a temperatura do corpo pela rela o conhecida como lei de Wien [3]

$$\lambda_{max} = \frac{B}{T} \quad (5)$$

B - Constante de Wien = $2,8977685 \times 10^{-3} mK$

que explica o facto dos corpos exibirem cores diferentes consoante a temperatura a que se encontram.

No final do s c.XIX, conhecidas estas duas leis, tentou-se explicar o comportamento da radia o emitida pelo corpo negro, tendo-se chegado   express o cl ssica

$$U_\nu = \frac{8\pi\nu^2}{c^3} kT \quad (6)$$

U_ν - Densidade de energia emitida numa dada frequ ncia (W/m^3)

ν - Frequ ncia da radia o emitida (Hz)

c - velocidade da luz no v cuo (m/s)

k - constante de Stefan-Boltzmann ($J s^{-1} m^{-2} K^{-4}$)

T - temperatura do corpo (K)

tamb m conhecida como lei de Rayleigh-Jeans. No entanto, embora a express o estivesse aproximadamente de acordo com os resultados experimentais para $\lambda \rightarrow \infty$, o mesmo n o se verificava no limite $\lambda \rightarrow 0$, visto que se previa uma intensidade infinita quando na verdade era nula.

Foi Planck que ultrapassou esta dificuldade, conhecida como cat strofe do ultravioleta, propondo o que viria

a constituir a base do modelo quântico, assumindo que para cada frequência só seriam possíveis determinados valores de energia, contrariamente ao espectro contínuo clássico. Assim, a densidade de energia por frequência seguiria a chamada distribuição de Planck, dada por:

$$U_\nu = \frac{8\pi\nu^2}{c^3} \frac{h\nu}{e^{\frac{h\nu}{kT}} - 1} \quad (7)$$

h - constante de Planck = $6,626 \times 10^{-34}$ (J/s)

Esta expressão está de perfeito acordo com os dados experimentais, sendo possível reencontrar a lei de Wien, dada pelo ponto nulo da primeira derivada, e de Stefan-Boltzman, que corresponde à sua integração em todos os comprimentos de onda. Deste modo, é também possível encontrar os valores das constantes

$$B = \frac{hc}{4,96k} \quad e \quad \sigma = \frac{2\pi^5 k^4}{15c^5 h^5} \quad (8)$$

II. EXPERIÊNCIA REALIZADA

A. Verificação da lei de Planck e de Wien

O equipamento utilizado encontra-se esquematizado na figura 1:

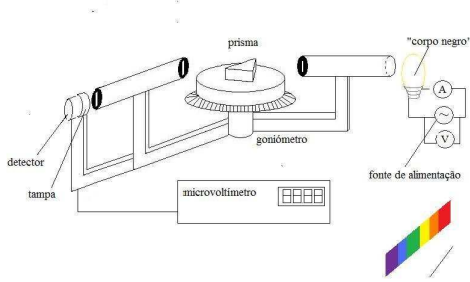


Figura 1. Esquema de montagem para a determinação da intensidade por comprimento de onda

É necessário calibrar o goniômetro para as medições do ângulo δ , definido como o ângulo entre o feixe refractado e a normal à face de refração do prisma. Este ângulo é calculado fazendo a diferença entre o ângulo inicialmente obtido através do alinhamento do feixe reflectido com o feixe incidente, e o ângulo registado para cada medição. Já o ângulo θ , constante ao longo de todas as medições, é obtido fixando uma posição para o prisma, **que neste caso corresponde ao alinhamento para a radiação verde** (verificar!).

Para determinar a temperatura do filamento da lâmpada de tungsténio recorre-se a uma tabela, que a cada razão

$$\frac{R(T)}{R(292.35)} \quad (9)$$

$R(T)$ - Resistência da lâmpada à temperatura T (°K)

associa um valor de temperatura, extrapolando-se valores por interpolação linear. O valor de $R(T)$ é obtido através da lei de Ohm, utilizando os valores da tensão e corrente eléctrica medidos no circuito.

Concluídas as preparações, desloca-se o braço do goniômetro até se observar a região do verde do espectro visível a incidir na abertura do detector, medindo-se o ângulo correspondente. De seguida altera-se sucessivamente a posição do detector, registando-se as intensidades referentes a diferentes comprimentos de onda. As medições terminam quando as intensidades deixam de ser significativas, confirmando-se sempre a validade de cada medição, ao verificar-se que a intensidade lida para a lente com cobertura é inferior a 0.3×10^{-5} V. Este procedimento é efectuado para uma tensão de 6, 9 e 12 V, tendo o cuidado de deixar estabilizar a temperatura da lâmpada para cada valor de voltagem.

Os dados de intensidade em função do comprimento de onda são posteriormente normalizados e representados num gráfico juntamente com a curva teórica esperada e normalizada do corpo negro, regida pela distribuição de Planck,

$$I_\lambda \Delta\lambda = \frac{2\pi hc^2}{\lambda^5} \frac{1}{e^{\frac{hc}{kT\lambda}} - 1} \Delta\lambda \quad (10)$$

comparando-se graficamente a validade dos resultados obtidos. Relativamente à verificação da lei de Wien (5), são seleccionados os comprimentos de onda correspondentes a cada intensidade máxima, traçando-se um gráfico destes em função da temperatura a que o corpo negro se encontra para cada uma.

Todos os comprimentos de onda são calculados a partir da expressão

$$n = \sqrt{\sin(\theta)^2 + \left(\frac{\sin(\alpha + \theta + \delta) + \cos(\alpha)\sin(\theta)}{\sin(\alpha)} \right)^2} \quad (11)$$

θ - ângulo de incidência

α - ângulo interior do prisma

δ - ângulo de refração

que permite encontrar o comprimento de onda correspondente para cada n , recorrendo novamente à interpolação linear de valores de uma tabela dada.

B. Verificação da lei de Stefan-Boltzmann

Utilizando a montagem da figura 2, dada uma distância fixa, a intensidade total da luz radiada é medida para diferentes tensões aplicadas, que correspondem a diferentes temperaturas da lâmpada. A lei de Stefan-Boltzmann verifica-se graficamente, ajustando as intensidades e respectivas temperaturas obtidas à forma logarítmica de (4)

$$\log(I) = \log(e\sigma) + 4 \log(T) \quad (12)$$

A constante de Stefan-Boltzmann obtém-se a partir da ordenada na origem e o declive 4 surge devido à dependência na quarta potência da temperatura.

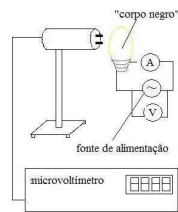


Figura 2. Esquema de montagem para a determinação da intensidade total

C. Verificação da lei de Kirchoff

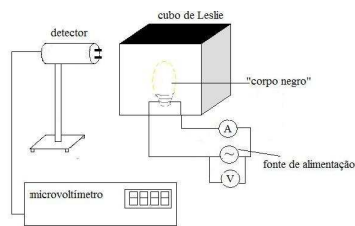


Figura 3. Esquema de montagem para comparação de emissividades

A confirmação da lei de Kirchoff é feita recorrendo a um cubo de Leslie: um cubo com 4 faces laterais revesti-

das com diferentes materiais - preto, metálico, branco e branco fosca - que têm diferentes poderes de absorção e de emissão. Para uma dada temperatura, é registada a intensidade de radiação emitida por cada face para uma posterior comparação.

III. RESULTADOS

Na calibragem do prisma, foi medido um ângulo de incidência normal e perto do desvio mínimo de, respectivamente, $(239^\circ 30' \pm 2'')$ e $(194^\circ 60' \pm 2'')$. Considerou-se o ângulo interior do prisma (α) igual a 60° , sem erro de leitura.

Tabela I. Dados da corrente e tensão da lâmpada para determinação da temperatura do seu filamento

V (V)	e_V (V)	I (A)	e_I (A)
6,01	0,01	1,17	0,01
9,11	0,01	1,45	0,01
12,16	0,01	1,68	0,01

IV. ANÁLISE DOS RESULTADOS

V. CONCLUSÃO E CRÍTICAS

[1] *Introdução à Física* by J. D. Deus, *et al.*, McGraw-Hill, 2000

[2] http://en.wikipedia.org/wiki/Kirchhoff's_law_of_thermal_radiation

[3] http://en.wikipedia.org/wiki/Wien's_displacement_law

[4] http://en.wikipedia.org/wiki/Stefan-Boltzmann_law

Tabela II. Dados da intensidade para diferentes tensões aplicadas à lâmpada

$V_{lâmpada}(V)$ ^a	$I_{lâmpada}(A)$ ^b	$I(V)$ ^c
5,1	1,08	0,00405
6	1,17	0,00634
7,08	1,28	0,00826
8,06	1,36	0,01019
9,1	1,45	0,01247
10,03	1,53	0,01458
11,1	1,61	0,01725
12,01	1,68	0,01961

^a Erro = $\pm 0,01$ V

^b Erro = $\pm 0,01$ A

^c Erro = $\pm 0,3 \times 10^{-5}$ V